

# 1-3 箱形断面構造物の空気力学的挙動に関する研究

徳島大学工学部 正員 宇都宮英考

## 1. まえがき

長方形構造物の耐風安定性の問題は、つり橋を中心として、わが国においても理論的、実験的研究が数多く行われて来ているが、まだ十分の成果が得られていない。ここでは、セパン構式に採用され、経済的に有利であることが証明された形式一箱形断面補剛桁について、その空力特性を理論的に考察しようとするものである。この種の厚みのある物体に対しては流れは剥離し、延年のトラス補剛桁に対して用いられた Theodorsen 型空気力とは異なり、それが作用すると考えられる。これについては Y.T.Wu<sup>(1)</sup> の研究が注目に値するが、Levi-Civita の方法を適用した白石・小川<sup>(2)</sup>の研究も同じ流れに類するものと考えられる。ここでは、Y.T.Wu の方法を動的現象に適用するための中间段階として、準定常流場を考え、迎角に対する発生する予想されるいくつかの流れのパターンに対する空気力を求め、それを用いてアナログシミュレーションにより、2自由度系の振動モデルの挙動を解析しようとするものである。

## 2. 空気力の解析

Fig. 1 に示されるように、セパン型の箱形断面物体を流れの中に置けば、その迎角と物体の長さによって、 $\alpha_1-I_1$ ,  $\alpha_2-I_2$ ,  $\alpha_3-I_3$  等の flow-pattern が考えられる。それぞれの pattern に対応して異なる空気力が作用する筈である。平板の場合には風洞実験によれば、迎角±10度程度で剥離の生じるところが観測されている。したがって、物体の相隣る迎角のなす角がこれ以上となると剥離が起ると想定する。隔壁角をまわる流れは、 $\alpha_1-\alpha_2$  のような流れとなり、その奥で流速が急減となるわけであるが、ここでは小さな bubble が発生し、流れを連続させるに考へることにする。今、Fig. 2-(ii) の  $z$ -plane において示される流れについて空気力を求めることにする。

流れの複素速度ポテンシャルを  $f = \phi + i\psi$  とすれば複素速度は、次のようである。

$$w(z) = \frac{df}{dz} = u - iv = f e^{-i\phi}$$

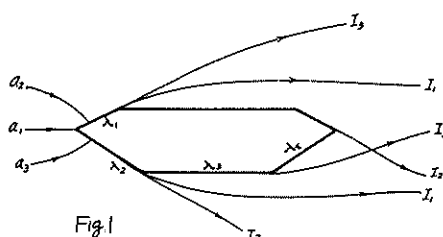


Fig. 1

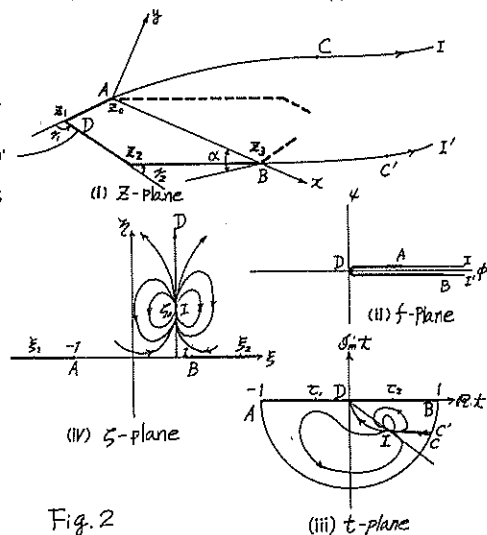


Fig. 2

迎角を $\alpha$ 、流速を $U$ とすれば、 $w$ は遠限速下流( $z=\infty$ )においてつぎの境界条件を得る。

$$w_{\infty} = U e^{-i\alpha} \quad (2)$$

near-wake AC, BC' の自由流線に沿う流速  $f_C$  を  $f_C=1$  と正规化し、Bernoulli の定理 & Cauchy-Riemann number の定義により

$$U = (1 + \sigma)^{-\frac{1}{2}} \quad ; \quad \sigma = (\rho_0 - \rho_t) / \frac{1}{2} \rho U^2 \quad (3)$$

ここで、 $\sigma$  なる新し parameter を導入し、 $\tau$ ,  $W$  を次のように変換する。[Fig.2-(iii), (iv)]

$$f = \frac{1}{A} (z - z_0)^{\frac{1}{2}} (z - \bar{z}_0)^{-\frac{1}{2}} \quad (4)$$

$$\zeta = \frac{1}{2} (\tau + \tau') \quad , \quad A: \text{境界条件から定まる正の定数} \quad z_0: z \rightarrow \infty \text{ の写像} \quad \}$$

$$\therefore \zeta(\tau) = A \tau^2 [(\tau - \tau_0)(\tau - \bar{\tau}_0)(\tau - \bar{\tau}_0^*)]^{-\frac{1}{2}} \quad (5)$$

一方、 $W = W(\tau)$  は、 $z$ -plane の  $z_1, z_2$  を  $\tau$ -plane の  $\tau_1, \tau_2$  で定めるよりな変換を考えれば良く、次のような写像関数となる。

$$W(\tau) = e^{-i\alpha_0} \tau \left( \frac{\tau - \tau_1}{C_1 \tau - 1} \right)^{\frac{1}{2}} \left( \frac{\tau - \tau_2}{C_2 \tau - 1} \right)^{\frac{1}{2}} \quad , \quad \alpha_0: \text{leading edge と } X\text{-軸のなす角.} \quad (6)$$

$z \rightarrow \infty$  の写像点  $z_0$  は  $\tau$ -plane 上の点として式(6)から求められる。 $A, C_i$  については  $\phi = 0$  の流線を物体表面に沿って積分することにより次のように求められる。

$$\lambda_i = |z_i - z_{i-1}| = \int_{\tau_{i-1}}^{\tau_i} \frac{1}{|W|} \left| \frac{dz}{d\tau} \right| d\tau, \quad i=1, 2, 3 \quad (7)$$

このようにして求められた流れの場において、物体が受ける力は、抗力、揚力を  $X, Y$  とし、合力を  $F = X + iY$  とすれば。

$$F = i \int_A^B (p - p_c) dz = -\frac{1}{2} i \rho \int_A^B (1 - W \bar{W}) \frac{dz}{dt} dt. \quad (8)$$

となる。これを用いて Fig.1 a.-I. の流れに相当する Fig.3 の場合について数値計算を行うと、Fig.4 のような無次元化された空気力係数を求めることができる。

### 3. 動的等動の解析

2. 自由度系の運動方程式は、鉛直変位  $Z$ 、回転変位  $\theta$  に対し、

$$\begin{aligned} m \ddot{Z} + C_L \dot{Z} + k_Z Z &= \frac{1}{2} \rho U^2 C_L(Z, \theta) \\ I \ddot{\theta} + C_M \dot{\theta} + k_\theta \theta &= \frac{1}{2} \rho U^2 b C_M(Z, \theta) \end{aligned} \quad \} \quad (9)$$

によって定められる。右辺の  $C_L, C_M$  は §.2 で計算された空気力を用い、アナログ回路で構成し、種々の  $U$  に対する応答を検討するわけであるが、上記計算例以外の空気力および動的等動については講義当日補足したいと考える。

(1) Y.T. Wu "A Wake model for free stream-line theory. Pt. 1." J. of Fluid Mech. Vol. 13, 1962.

(2) 白石・小川 "箱形断面に作用する二次元空気力とその自由流線理論の応用について" 土木学会論文集 No.187 1971.3

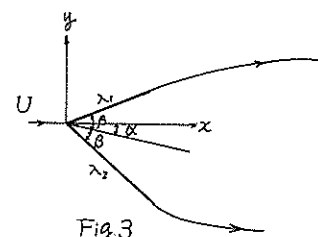


Fig.3

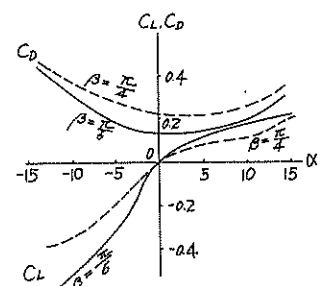


Fig.4